

سنگ‌زایی و ژئوشیمی توده‌ی گرانیتی نوع A میشو

مریم آهنکوب^{۱۰۹*}، احمد جهانگیری^۱، محسن موید^۱

۱- گروه زمین‌شناسی، دانشکده علوم طبیعی، دانشگاه تبریز

۲- استادیار دانشگاه پیام نور

(دریافت مقاله: ۹۰/۹/۲۱، نسخه نهایی: ۹۰/۱۱/۱۸)

چکیده: توده گرانیتی شرق میشو در شمال باختری ایران و در حدود ۶۰ کیلومتری شمال غرب تبریز واقع شده و بخشی از زون البرز- آذربایجان است. این توده با مساحتی بالغ بر ۵۰ کیلومتر مربع، سنگ‌های رسوبی دگرگون نشده پرکامبرین را قطع کرده و خود با رسوب‌های پرمین با دگرشیبی آذرین پی پوشیده شده است. ترکیب سنگ‌شناسی توده‌ی مورد بررسی، طیفی از سنگ‌های قلیایی گرانیت- مونزوگرانیت- سینوگرانیت نشان می‌دهد. بافت غالب در این نمونه‌ها دانه‌دار هم بعد تا ناهم بعد، پرتیتی و میرمیکیتی است. کانی‌های اصلی این سنگ‌ها شامل کوارتز، فلدسپار پتاسیم، پلاژیوکلاز و کانی‌های فرعی و عارضه‌ای شامل بیوتیت، آمفیبول، پیروکسن، آپاتیت، اسفن و زیرکن است. این توده ترکیبی گرانیت قلیایی داشته و ماهیت متاآلومینیوس تا پرآلومینیوس نشان می‌دهد. بیهنجاری منفی Ba، Sr، Ti، Nb و Eu و غنی‌شدگی در Th و Rb در LILEs به ویژه نشانگر خاستگاه پوسته‌ای این سنگ‌هاست. توده گرانیتی شرق میشو از نوع گرانیت‌های پس از برخورد حاشیه‌ی قاره‌ای نوع A است که با توجه به تهی‌شدگی از Nb به گروه A₂ وابسته است.

واژه‌های کلیدی: گرانیت‌های نوع A، پس از برخورد؛ حاشیه قاره‌ای؛ گروه A₂؛ شمال غرب تبریز؛ شرق میشو.

محدود می‌شود که در واقع گسل شمالی میشو نامیده می‌شود. در صورتی که در بخش جنوبی، گسل جنوبی میشو، ارتفاعات میشو را محدود می‌نماید. قدیمی‌ترین سنگ‌ها در ارتفاعات کوه‌های میشو، بین گسل شمال و جنوب، به صورت هورست بالا آمده‌اند [۸] که در تقسیم‌بندی [۹] در زون سلطانیه- میشو واقع شده است. [۱۰] معتقد است که گسل جنوبی میشو با شبیه رو به شمال به عنوان کاندیدای مناسب برای خط درز پالئوتیس اول در شمال غرب ایران است، علاوه بر این از منطقه‌ی قره‌گوز و دیوان‌داغی مجموعه‌های نفوذی قلیایی نوع A گزارش شده‌است که در نتیجه فعالیت‌های کششی پس از برخورد قاره- قاره در منطقه تشکیل شده‌اند و در نتیجه ذوب

مقدمه

نوع سنگ‌های گرانیتی نوع I، S و A در زمان‌های متفاوت در موقعیت‌های مختلف زمین ساخته در ایران گزارش شده‌اند. در سال‌های اخیر بررسی‌های دقیقی در مورد زنگ و زمان تزریق توده‌های گرانیتوئیدی در زون ماقمائی ارومیه- دختر، شرق ایران و نوار دگرگونی سنتندج- سیرجان انجام شده است. در این بین گزارش‌های زیادی مبنی بر حضور گرانیت‌های نوع A در پرکامبرین، پالئوزوئیک، مژوزوئیک و سنوزوئیک ارائه شده است [۱۲-۱]. رشته کوه‌های میشو در شمال غرب ایران و در استان- های آذربایجان شرقی و غربی قرار دارند. این رشته کوه‌ها در جنوب گسل تبریز قرار گرفته‌اند [۱۱] و از شمال به گسل تبریز

*نویسنده مسئول، تلفن: ۰۳۸۱ (۲۲۲۶۳۱۱)، نامابر: ۰۳۸۱ (۲۲۲۵۱۵۳)، پست الکترونیکی: Ahankoub_m@yahoo.com

ایران و شمال غربی تبریز، واقع شده‌اند (شکل ۱). این رشته کوه‌ها با راستای شمال غربی-جنوب شرقی دارای رخنمون خشن و ناهموارند که بین دو گسل شمالی و جنوبی می‌شو واقع شده‌اند. این رشته کوه‌ها شامل مجموعه‌ای از سنگ‌های رسوی پر کامبرین، نهشته‌های پالئوزوئیک، مزو佐ئیک و سنوزوئیک تا کواترنری هستند. منطقه‌ی مورد بررسی بین عرض‌های 45° - 40° و طول‌های جغرافیائی 38° - 38° تا 15° - 15° می‌باشد. این منطقه را از نظر زمین‌شناسی 55° - 45° واقع شده‌است. این منطقه را از نظر زمین‌شناسی ساختاری، جزء البرز غربی-آذربایجان [۳۴] و سلطانیه-میشو [۹] رده بندی می‌کنند. عملکرد گسل‌های شمالی و جنوبی تبریز در دامنه شمالي و جنوبی ارتفاعات می‌شود باعث بالازدگی ارتفاعات می‌شود و دو دشت فشارشی در شمال و جنوب منطقه به وجود آورده است [۱۰]. این توده در طی پرمنین به درون رسوب‌های دگرگون نشده پر کامبرین (سازندکهر) نفوذ کرده است [۳۵]. مرز این توده در غرب با گلبروها تا دیوریت، و در جنوب و شرق با سازندهای رسوی پر کامبرین (کهر) دارای برخوردارگاه چشمگیر و مستقیم است و هیچ‌گونه حالت تدریجی بین آن‌ها دیده نمی‌شود.

روش پژوهش

بررسی‌های انجام شده طی سه مرحله بررسی‌های کتابخانه‌ای، صحرائی و آزمایشگاهی صورت گرفته است در طی بررسی‌های کتابخانه‌ای کلیه داده‌های موجود از منطقه جمع‌آوری و مطالعه شدند و سپس کارهای صحرائی که شامل بررسی کلیه تغییرات سنگ‌شناسی و شواهد لیتوژوئیکی بود به دقت مورد پژوهش قرار گرفتند و در نهایت بر اساس اولویت‌بندی‌های انجام شده، بررسی‌های میکروسکوپی تعداد 345 نمونه برداشت شده به طور سیستماتیک، آغاز شد. سپس از تعداد 15 نمونه‌ی تازه و فاقد هوازدگی برای اندازه‌گیری عناصر اصلی، کمیاب و نادر خاکی، با دستگاه‌های ICP-MS و ICP-AES در آزمایشگاه ACME کانادا، آنالیز شدند که نتایج آن در جدول ۱ آمده‌اند.

بررسی‌های صحرائی و سنگ‌نگاری

همه‌ی داده‌های سنگ‌شناسی و میکروسکوپی نمایانگر حضور طیفی از سنگ‌های نفوذی گرانیتی هستند که به رنگ‌های صورتی تا خاکستری روش در منطقه رخنمون دارند و با دایکه

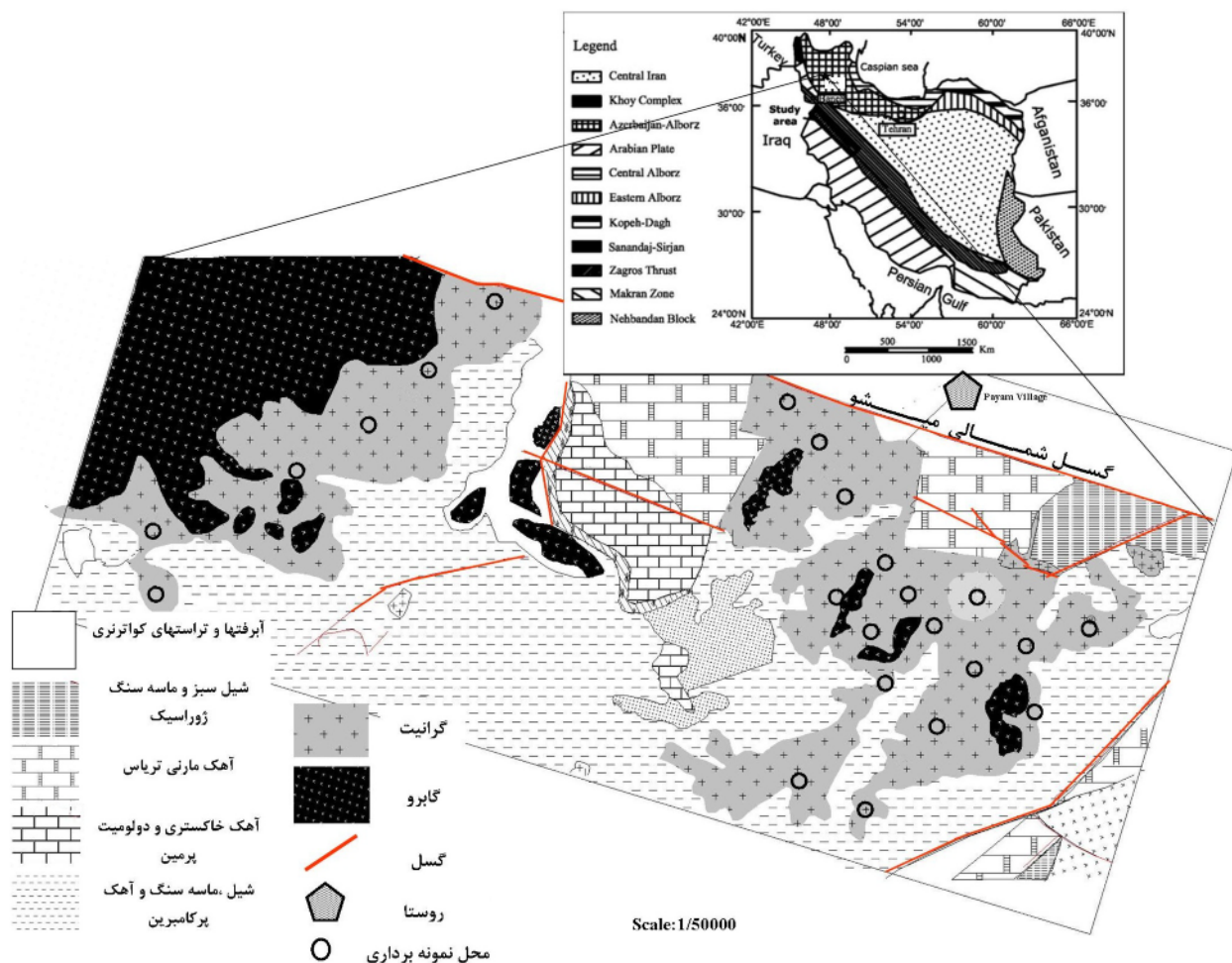
گرانیت‌های نوع A با داشتن درصد بالای SiO_2 و عناصر قلیایی و نیز نسبت بالای FeO/MgO ، پائین بودن مقدار CaO بالا بودن عناصر گروه LREE و HFSE مانند Zr از انواع دیگر گرانیتی مانند S و I متمایز می‌شوند [۱۵-۱۷]. کانی شناسی این سنگ‌ها نسبتاً ساده بوده، ولی به دلیل بالا بودن عناصر قلیایی ترکیب کانی‌های مافیک آن‌ها مانند آمفیبول و پیروکسن‌ها بیشتر به سمت خانواده‌ی سدیک یا پتاسیک تمایل می‌یابد [۱۸-۲۴]. در حالت کلی گرانیت‌های نوع A به دو دسته‌ی A_1 و A_2 بر اساس خاستگاه تقسیم می‌شوند که گروه A_1 ، دارای نسبت‌های عنصری مشابه با بازالت‌های جزایر اقیانوسی بوده و دارای خاستگاه گوشته‌ای هستند که طی فعالیت‌های درون صفحه‌ای و یا در ارتباط با فعالیت‌های بالا آمدگی پس از برخورد، جایگزین می‌شوند، و گروه A_2 ، دارای نسبت‌های عنصری مشابه به بازالت‌های حاشیه‌ی فعال گوشته هستند که از ذوب پوسته قاره‌ای با یا بدون دخالت گوشته حاصل می‌شوند [۲۵]. نمونه‌های ارائه شده با داده‌های ایزوتوپی و عناصر نادر در مورد سنگ‌زایی این نوع گرانیت‌ها، پیشنهاد می‌کند که گرانیت‌وئیدهای نوع A با فرآیندهای مختلفی تشکیل می‌شوند که عبارتند از: ۱) تبلور بخشی ماقماهی بازالتی [۲۵]، در این حالت ممکن است گوشته قبل از ذوب‌بخشی نسبت تمرکز عناصر آن بر اثر فرآیند دگرنهادی افزایش یافته باشد [۲۶-۲۸]، ۲) واکنش محلول‌های غنی از عناصر قلیایی، فلور و کلر یا ماقماهی باقی‌مانده در فاز پایانی تبلور ماقما و یا واکنش آن‌ها با گرانیت‌های قدیمی تر [۲۷-۲۹]، ۳) ذوب مجدد سنگ‌های دگرگونی شده‌ی پوسته تحتانی [۳۱، ۳۰، ۲۴]، ۴) ذوب بخشی پوسته‌ی قاره‌ای (با تاثیر دگرنهادی یا بدون تاثیر آن [۳۲-۳۳]). با توجه به عدم بررسی‌های دقیق و وجود ابهامات زیاد در مورد سنگ‌های گرانیتی شرق می‌شود و اهمیت منطقه از نظر چگونگی زمین‌ساختی، انجام بررسی‌های زیر ضروری به نظر می‌رسد. لذا در این پژوهش سعی شد تا با بررسی‌های دقیق سنگ‌شناسی و ژئوشیمی عناصر اصلی، کمیاب و نادر خاکی نتایج داده‌های ایزوتوپی منتشر شده و در حال انتشار، پرده از ابهامات زمین‌شناسی منطقه برداشته شود.

زمین‌شناسی

منطقه‌ی مورد بررسی در رشته کوه‌های می‌شود در شمال غرب

حاصل از همرشدی کوارتز و فلدسپار پتاسیم قابل مشاهده‌اند. در این سنگ‌ها به ندرت می‌توان کانی‌های مافیک بیویت و هورنبلند یافت و بیشتر دارای اکسید آهن هستند که بین کانی‌های اصلی پراکندگی دارند. کانی‌های فرعی در این نمونه‌ها بیشتر شامل آپاتیت، زیرکن، اسفن و اکسیدهای آهن، و کانی‌های ثانویه شامل کلریت و کلسیت‌اند. بیشتر فنوکریستهای فلدسپار پتاسی در اثر دگرسانی تبدیل به کائولینیت و کانی‌های رسی دیگر، به صورت مات و ابری دیده می‌شوند. مجموعه کانی‌های استیلپنوملان و یا مخلوط اکسید آهن و اسکمکتیت بین کانی‌های دیگر به فراوانی دیده می‌شوند. سنگ‌های گرانیت قلیایی با توجه به ترکیب کانی‌شناسی و بافت به دو گروه پرتفیت گرانیت و فلدسپار گرانیت قلیایی تقسیم می‌شوند [۳۶-۳۹].

های مافیک قطع شده‌اند (شکل ۲). نتایج حاصل از آنالیز مodal این سنگ‌ها نشان می‌دهد که آن‌ها در قلمرو آلکالی‌گرانیت‌های قلیایی، سینوگرانیت‌ها و مونزوگرانیت‌ها قرار می‌گیرند (شکل ۳). افون بر این دایک‌های مافیک میکروگابرو و میکرودیوریت توده‌ی گرانیتی مورد بررسی را قطع کرده‌اند. با توجه به تنوع کانی‌شناسی و بافت در این سنگ‌ها، در زیر به تشریح مشخصات سنگنگاری و صحرائی این سنگ‌ها پرداخته می‌شود. (۱) گرانیت قلیایی، به رنگ خاکستری روشن تا صورتی و ظاهر توده‌ای با دانه‌بندی درشت تا متوسط هستند. بافت غالب آن‌ها دانه‌ای هم بعد تا ناهم بعد است که حاوی فنوکریستهای فلدسپار پتاسی هستند، و در متنی از کانی‌های کوارتز، فلدسپار پتاسی و پلازیوکلаз قرار گرفته‌اند. فنوکریستهای فلدسپار پتاسی دارای ماکل کارلسbad، بافت پرتیتی و بافت نموداری

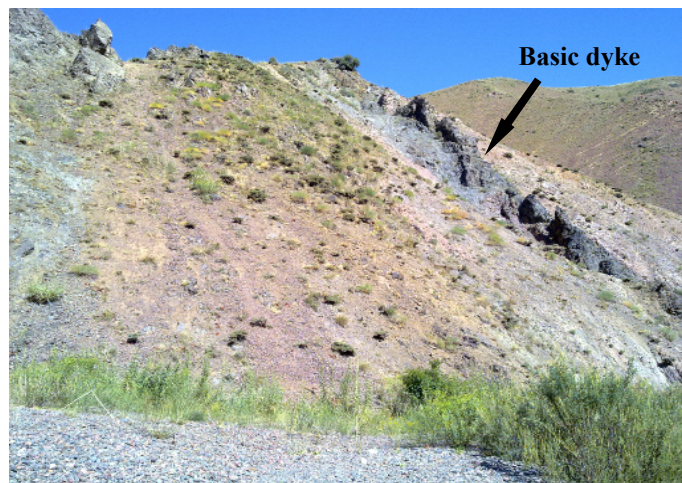


شکل ۱ نقشه‌ی زمین‌شناسی ساده شده منطقه‌ی مورد بررسی اقتباس از نقشه ۱/۱۰۰۰۰۰ ورقه مرند [۱۱].

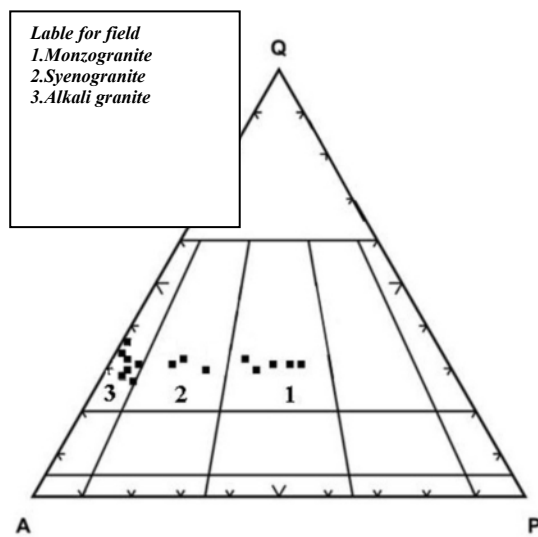
جدول ۱ نتایج آنالیز شیمیائی ICP_AES و ICP_MS نمونه‌های گرانیتی شرق میشو.

	-M1	-M2	-M3	-M4	-M5	-M6	-M7	-M8	-M9	-M10	-M11	-M12	-M13	-M14	-M15
SiO ₂	۶۵۷۱	۶۹.۹۲	۷۱.۴۲	۷۰.۸۷	۷۰.۹۱	۷۲.۱۶	۷۱.۳۵	۷۲.۳۸	۷۱.۶۹	۷۳.۴۱	۷۳.۱۲	۷۲.۵۷	۷۴.۰۴	۷۵.۱۷	۷۶.۹۹
TiO ₂	۰.۵۱	۰.۳۲	۰.۴۱	۰.۴۱	۰.۴۲	۰.۲۶	۰.۲۸	۰.۲۶	۰.۲۷	۰.۳۹	۰.۲۳	۰.۲۸	۰.۱۹	۰.۱۳	۰.۲۷
Al ₂ O ₃	۱۴.۷۴	۱۳.۱۱	۱۳.۴۱	۱۳.۶۱	۱۳.۵۹	۱۳.۲۴	۱۳.۶۲	۱۳.۱۳	۱۳.۲۲	۱۳.۱۲	۱۳.۳۲	۱۲.۵۲	۱۲.۱۴	۱۲.۰۸	
Fe ₂ O ₃	۳.۴۹	۳.۱۳	۳.۲۱	۳.۳۴	۳.۶۲	۲.۵۱	۳.۰۵	۳.۱۴	۲.۶۴	۳.۴۵	۲.۲۱	۲.۱۴	۲.۰۹	۲.۱۲	۱.۵۱
MnO	۰.۰۲	۰.۰۴	۰.۰۳	۰.۰۴	۰.۰۵	۰.۰۴	۰.۰۳	۰.۰۴	۰.۰۳	۰.۰۳	۰.۰۳	۰.۰۳	<۰.۰۱	۰.۰۱	
MgO	۰.۴۸	۰.۵۸	۰.۴۵	۰.۴۶	۰.۴۳	۰.۴۹	۰.۴۱	۰.۳۶	۰.۱۸	۰.۴۲	۰.۲۹	۰.۳۷	۰.۱۸	۰.۲۱	۰.۰۷
CaO	۱.۶۳	۲.۰۷	۱.۲۸	۱.۰۴	۰.۹۸	۱.۲۱	۰.۶۱	۰.۷۷	۱.۰۷	۰.۳۶	۰.۸۲	۰.۵۸	۰.۶۷	۰.۸۵	۱.۳۵
Na ₂ O	۴.۴۲	۴.۶۹	۳.۲۵	۳.۹۶	۳.۵۹	۳.۲۴	۲.۹۹	۳.۴۹	۳.۳۳	۳.۲۷	۳.۴۵	۳.۵۸	۳.۴۴	۳.۷۵	۶.۸۸
K ₂ O	۰.۵۱	۴.۷۱	۵.۱۶	۴.۸۱	۴.۸۸	۵.۶۱	۵.۵۱	۵.۲۵	۵.۳۲	۵.۲۱	۵.۸۲	۵.۳۷	۵.۷۱	۴.۴۱	۵.۱۴
P ₂ O ₅	۰.۱۱	۰.۰۵	۰.۰۸	۰.۰۸	۰.۰۹	۰.۰۷	۰.۰۸	۰.۰۷	۰.۰۶	۰.۰۸	۰.۰۵	۰.۰۶	۰.۰۵	۰.۰۲	۰.۰۵
L.O.I	۱.۲	۱.۲	۱.۹	۱.۲	۱.۳	۱.۳	۱.۸	۱.۸	۲	۱.۲	۱.۳	۱.۵	۱.۲	۱.۱	۱.۶
Sum	۹۹.۷۹	۹۹.۹۱	۹۹.۸۰	۹۹.۸۰	۹۹.۸۰	۹۹.۸۰	۹۹.۸۰	۹۹.۸۰	۹۹.۸۰	۹۹.۸۰	۹۹.۸۰	۹۹.۸۰	۹۹.۸۰	۹۹.۸۰	۹۹.۹۰
Ba	۱۱۲۰	۲۵۸۱	۶۴۱	۷۲۳	۷۲۵	۵۰۶	۶۷۸	۶۵۳	۶۳۰	۵۶۲	۵۹۹	۳۶۵	۴۰۶	۵۹	۶۷
Rb	۱۲۵۴	۱۵۸۶	۱۴۹۷	۱۴۳۵	۱۶۱.۱	۱۶.۰	۱۶۲۲	۱۶۸۶	۱۶۸۳	۱۵۸۴	۱۸۲۲	۱۶۹۸	۱۵۳۹	۱۸۶۲	۱۸۳۵
Sr	۹۰.۶	۴۷.۷	۴۰.۲	۷۹.۸	۷۴.۸	۸۷.۹	۳۰.۱	۵۹.۳	۴۲.۸	۳۰.۲	۵۰.۸	۳۶.۷	۵۶.۴	۳۹.۸	۳۶.۷
Zr	۴۸۷۶	۲۴۱۳	۳۱۵۱	۱۸۰.۶	۳۱۷۸	۲۷۷۴	۲۸۳۲	۲۹۳۵	۲۳۹	۲۹۷۳	۲۲۲۲	۲۷۶۳	۱۷۶۹	۴۸۹۳	۳۳۶۸
Nb	۱۹.۴	۲۱.۱	۱۵۷	۱۴۳	۱۴۲	۱۵۵	۱۵۳	۱۵۴	۱۵۱	۱۳.۹	۱۴.۱	۱۲.۶	۷۴.۶	۱۷.۷	
Zn	۱۹	۲۶	۸	۴۸	۶۵	۱.	۴۶	۲۷	۴۷	۱.	۸	۱۸	۱۳۳	۷.	۸
La	۴۴.۸	۵۵.۶	۴۸.۶	۴۹.۳	۴۴.۷	۴۶.۶	۴۹.۶	۴۶.۵	۵.۰۶	۴۷.۹	۵۱.۱	۴۹.۴	۵۶.۷	۶۷.۵	۲۳.۴
Ce	۸۸.۶	۱۱۲۱	۱۰.۰۵	۱۰.۲۵	۹۲.۱	۱۰.۴۱	۱۰.۱۹	۱۰.۱۷	۱۰.۹۱	۱۰.۲۱	۱۱.۰۱	۱۰.۸۳	۱۱۷۷	۷۲.۱	
Pr	۱۰.۴۱	۱۲۵۶	۱۱.۷۶	۱۱.۸۷	۱۰.۸۰	۱۱.۲۷	۱۲.۰۲	۱۱.۲۷	۱۲.۲۳	۱۱.۰۳	۱۲.۰۶	۱۱.۸۹	۱۳۰۲	۱۵.۱۲	۹.۴۶
Nd	۳۹.۱	۴۳.۴	۴۰.۴	۴۶.۷	۳۹.۵	۴۲.۷	۴۳.۶	۴۲.۸	۴۷.۶	۴۳.۸	۴۵.۸	۴۴.۳	۴۹.۱۲	۵۴.۹۱	۴۲.۷۱
Sm	۱.۷۱	۸.۶۳	۸.۶۲	۸.۷۱	۷.۷۵	۷.۷۴	۸.۴۶	۸.۲۶	۸.۹۱	۸.۹۳	۸.۹۵	۸.۹۶	۹.۶۶	۱۱.۹۶	۱.۰۷۶
Eu	۱.۳۲	۰.۶۹	۰.۹۸	۱.۰۲	۱.۰۶	۰.۷۵	۰.۹۱	۰.۷۳	۰.۷۷	۰.۸۱	۰.۸۴	۱.۰۸	۰.۵۷	۰.۵۸	۱.۲۲
Gd	۷.۶۳	۸.۷۵	۸.۹۱	۹.۱۳	۷.۹۶	۸.۸۷	۸.۹۸	۸.۸۲	۸.۸۳	۷.۸۵	۸.۶۲	۷.۷۷	۹.۶۲	۱۳.۱۱	۱۰.۸۱
Tb	۱.۱۸	۱.۴۶	۱.۶۲	۱.۵۳	۱.۲۸	۱.۶۲	۱.۴۹	۱.۲۳	۱.۵۱	۱.۴۵	۱.۰۱	۱.۶۱	۱.۶۸	۲.۴۶	۱.۸۲
Dy	۷.۱۲	۸.۶۹	۷.۶۵	۸.۹۸	۸.۰۳	۷.۴۳	۸.۶۹	۷.۴۴	۸.۴۱	۷.۳۸	۷.۲۱	۷.۳۲	۹.۸۳	۱۵.۷۷	۱۰.۸۱
Ho	۱.۴۳	۱.۷۷	۱.۶۳	۱.۹۰	۱.۶۳	۱.۵۷	۱.۸۱	۱.۴۴	۱.۷۹	۱.۵۱	۱.۵۲	۱.۵۴	۲.۰۸	۲.۰۵	۲.۰۱
Er	۴.۰۹	۴.۸۷	۴.۷۴	۴.۱۴	۴.۴۱	۴.۶۶	۵.۲۹	۴.۷۱	۵.۱۲	۴.۶۱	۴.۸۵	۴.۷۶	۶.۰۹	۶.۳۹	۶.۳۸
Tm	۰.۵۱	۰.۷۸	۰.۹۶	۰.۷۹	۰.۷۱	۰.۷۹	۰.۷۶	۰.۷۷	۰.۸۱	۰.۶۵	۰.۷۳	۰.۹۵	۰.۹۱	۰.۸۷	۰.۹۱
Yb	۳.۷۱	۵.۰۸	۴.۷۵	۵.۷۹	۴.۷۱	۴.۹۶	۴.۷۴	۵.۰۵	۴.۷۱	۴.۸۱	۴.۷۶	۴.۵۵	۴.۱۱	۴.۷۱	
Lu	۰.۷۵	۰.۸۱	۰.۷۴	۰.۷۳	۰.۷۸	۰.۷۱	۰.۷۳	۰.۷۲	۰.۷۲	۰.۷۱	۰.۸۴	۰.۷۷	۰.۸۵	۰.۸۳	۰.۸۴
Y	۳۸.۶	۴۸.۴	۵۲.۵	۴۹.۴	۴۳.۸	۴۷.۹	۵۲.۵	۵۱.۱	۵۲.۶	۴۸.۴	۵۳.۵	۵۰.۳	۵۸.۴	۱۰.۳۶	۶۰.۳
Cs	۲۴	۲.۱	۱.۴	۱.۰	۱.۹	۰.۵۱	۱.۵	۲.۸	۳.۸	۲.۸	۳.۱	۶.۱	۱.۷	۱.۶	۱.۰
Ta	۱.۳	۱.۹	۱.۳	۱.۲	۱.۲	۱.۲	۱.۱	۱.۱	۱.۳	۱.۲	۱.۲	۱.۴	۱.۱	۱.۶	۱.۰
Hf	۱۲.۶	۸.۲	۹.۷	۹.۶	۱۰.۱	۹.۵	۸.۵	۸.۷	۸.۴	۹.۶	۷.۵	۹.۱	۵.۹	۱۵.۷	۹.۵
Sc	۱۲	۵	۹	۹	۹	۷	۷	۹	۸	۸	۸	۷	۵	۲۶	۸
Be	۳	۳	۲	۳	۲	۱	۲	۳	۳	۳	۲	۲	۱	۰	۱
Ga	۲۰.۱	۲۲.۲	۱۹.۶	۲۱.۲	۲۰.۹	۲۲.۱	۲۱.۱	۲۰.۸	۲۰.۶	۲۰.۵	۲۰.۹	۲۰.۷	۱۸.۶	۳۰.۶	۱۸.۳
Sn	۵	۱۲	۹	۹	۹	۷	۷	۹	۸	۸	۸	۷	۵	۲۶	۸
Th	۲۱.۷	۲۸.۱	۲۱.۱	۲۲.۵	۱۹.۱	۲۱.۹	۲۲.۴	۲۱.۷	۲۴.۱	۲۰.۵	۲۱.۸	۲۱.۷	۲۴.۵	۳۹.۸	۲۰.۲
U	۳۵	۵.۹	۵.۴	۶.۲	۵.۶	۶.۸	۴.۸	۶.۵	۵.۷	۵.۱	۹.۶	۸.۸	۴.۶	۸.۶	۲.۴
V	۳۰	۲۵	۲۸	۲۴	۲۲	۲۵	۲۴	۲۴	۸	۲۲	۱۱	۱۰	۸	۲۸	۲۸
W	۱.۷	۳.۲	۲.۹	۲.۲	۲.۸	۲.۳	۲.۷	۲.۸	۲.۶	۱.۸	۴.۱	۲.۱	۱.۸	۱.۴	۱.۰
Mo	۱.۰	۲.۵	۰.۶	۰.۰۶	۰.۰۳	<۰.۰۲	<۰.۰۲	<۰.۰۲	<۰.۰۲	<۰.۰۲	<۰.۰۲	<۰.۰۲	<۰.۰۲	<۰.۰۲	۱۲.۰
Cu	۳۸.۷	۴۶	۴۵	۱.۷	۳.۳	۲.۴	۰.۵	۲.۸	۳.۶	۳.۵	۲.۸	۱.۵	۲.۶	۱.۸	۱.۴
Pb	۷.۶	۸.۸	۳.۷	۹.۱	۷.۶	۵.۲	۳۱.۱	۲.۶	۴.۲	۴.۴	۵.۸	۳۳.۹	۵.۲	۱۴.۲	۸.۱۲
Ni	۷.۷	۲.۲	۰.۴	۴۴.۱	۳۶.۱	۳۵.۱	۴۹.۲	۲۷.۱	۷۵.۲	۷۵.۱	۶۶.۱	۴۸.۱	۵۶.۳	۳۸.۱	۱۰.۱.۱
As	۲.۱	۲.۱	۳.۸	۲۵.۲	۲.۸	۲.۲	۳۹.۴	۲.۹	۲.۳	۳.۷	۳.۲	۳.۸	۳.۹	۳.۲	۲۹.۸
Cd	<۰.۱	<۰.۱	<۰.۱	۱.۷	۲۴	<۰.۵	<۰.۵	۱.۲	<۰.۵	۰.۱	۷.۸	۱.۹	۱.۵	۱.۷	۴.۵
Sb	۰.۴	۰.۴	<۰.۱	<۰.۱	<۰.۱	<۰.۱	<۰.۱	<۰.۱	<۰.۱	<۰.۱	<۰.۱	<۰.۱	<۰.۱	<۰.۱	۰.۴
Bi	<۰.۱	<۰.۱	<۰.۱	<۰.۱	۰.۸	۰.۲	۰.۱	۰.۱	۰.۲	۰.۲	۰.۱	۰.۲	۰.۱	۰.۱	۱.۶
Ag	<۰.۱	<۰.۱	<۰.۱	<۰.۱	۰.۳	<۰.۱	<۰.۱	۰.۲	<۰.۱	۰.۲	۰.۴	۰.۲	۰.۱	۰.۳	۰.۱
Au	<۰.۰۵	<۰.۰۵	۱.۳	<۰.۱	<۰.۱	<۰.۱	<۰.۱	<۰.۱	<۰.۱	<۰.۱	<۰.۱	<۰.۱	<۰.۱	<۰.۱	<۰.۱
Hg	<۰.۰۲	<۰.۰۱	<۰.۰۱	۳.۱	۳.۱	<۰.۰۵	<۰.۰۵	۳.۱	<۰.۰۵	۳.۱	<۰.۰۵	۷.۱	<۰.۰۵	<۰.۰۵	<۰.۰۵
Tl	<۰.۱	<۰.۱	<۰.۱	<۰.۰۲	<۰.۰۵	<۰.۰۶	<۰.۰۱	<۰.۰۲	<۰.۰۲	<۰.۰۱	<۰.۰۲	<۰.۰۱	<۰.۰۱	<۰.۰۲	<۰.۰۲
Se	۱.۲	۱.۵	۱.۲	<۰.۱	<۰.۱	<۰.۱	<۰.۲	<۰.۱	<۰.۱	<۰.۱	<۰.۱	<۰.۱	<۰.۱	<۰.۱	<۰.۱

L.O.I = loss On Ignition ., Fe₂O₃ = Total iron



شکل ۲ دایک مافیک در درون گرانیت‌های شرق میشو.



شکل ۳ نمودار مودی [۴۲] برای مطالعه‌ی سنگ‌های گرانیتی

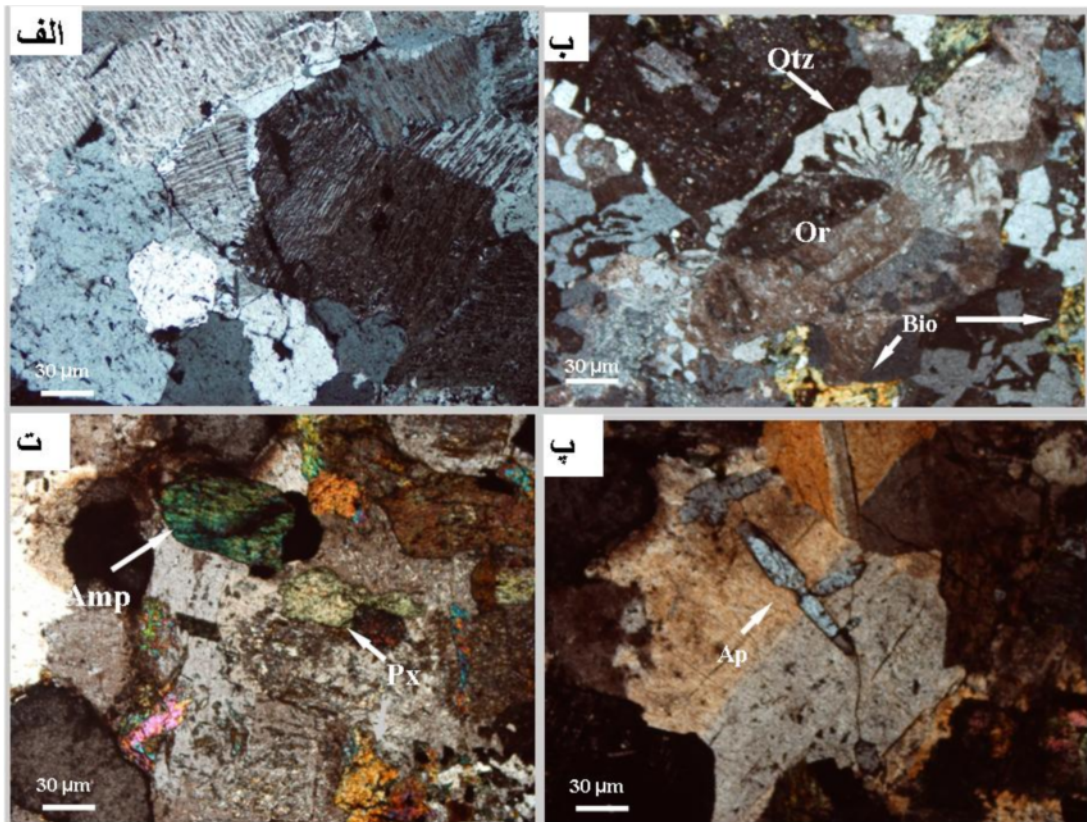
تقريباً خالص از پلازیوکلاز نوع آلبیت مشخص می‌شوند. فلدسپار قلیایی در اين سنگ‌ها در حدود ۶۵-۴۳٪ سنگ را تشکیل می‌دهد. بلورهای آلبیت منشوری شکل‌اند و تا حدود ۲۰٪ سنگ را تشکیل می‌دهند.

۲) سینوگرانیت‌ها، بهرنگ صورتی مایل به خاکستری و با اندازه‌ی دانه‌های ۵-۱۰ میلی متر و بافت گرانوفیری و میرمیکیتی قابل تشخیص‌اند که بیشتر نیمه شکل دارند. میانگین محتوای فلدسپار قلیایی و کوارتز و پلازیوکلاز به ترتیب در حدود ۴۶، ۳۰ و ۲۲ درصد است. عموماً پلازیوکلازهای منشوری بدون منطقه‌بندی بوده و از نظر ترکیب شامل آلبیت همراه با مقادیر اندکی الیکوکلازند.

بنابر تقسیم بندی IUGS توسط [۴۰] هر دو گروه، جزء گرانیت‌های فلدسپار قلیایی معرفی شده‌اند که به اختصار با نام‌های زیر شناسایی می‌شوند: (الف) پرتیت‌گرانیت‌ها، به واسطه‌ی رنگ صورتی، دانه‌های کوچک (۳-۶ میلی متر)، بافت نموداری و عدم حضور پلازیوکلاز از مجموعه دیگر قابل تشخیص‌اند. بلورهای پرتیت بدون شکل تا ۳۲٪ و کوارتز تا ۶۵٪ سنگ را تشکیل می‌دهد. همچنین پولک‌های قهوه‌ای روشن بیوتیت همراه با کانی‌های فرعی زیرکن و آپاتیت مشاهده می‌شوند (شکل ۴ الف). علاوه بر این بافت گرافیکی حاصل از همرشدی کوارتز و فلدسپار پتاسیم در این سنگ‌ها قابل مشاهده است. (ب) آلبیت-feldsپار‌گرانیت‌های قلیایی، به‌طور غالب با ترکیب

اسفن، سیدریت، استیلپنوملان و اکسیدهای آهن بی‌شکل در سنگ حضور دارند [۴۸،۴۷]. ۳) مونزوگرانیت‌ها، به صورت سنگ‌های همگن، توده‌ای، درشت‌دانه تا میان‌دانه در بخش حاشیه‌ای توده‌ی اصلی رخنمون دارند. این سنگ‌ها با بافت دانه‌دار هم بعد تا ناهم بعد دانه دیده دارند. پلاژیوکلارز با ماکل پلی سنتیتیک، منطقه‌بندی شده و در بعضی موارد با بافت غربالی دیده می‌شوند. هورنبلند، به دو صورت ریزبلور و فنوکریست، با اندازه‌های متفاوت و به صورت شکل دار در نمونه‌ها حضور دارند. بقایایی از پیروکسن‌های دگرسان شده، به صورت بلورهای با ابعاد متفاوت قابل مشاهده‌اند (۴ت). مونزوگرانیت‌ها را می‌توان به دو دسته رده‌بندی کرد: ۱) مونزوگرانیت‌های پورفیروئیدی با بلورهای میکروکلین در یک زمینه‌ی درشت دانه، ۲) مونزوگرانیت‌های پورفیروئیدی مزوکرات با بلورهای درشت میکروکلین با ماکل مشبك در یک زمینه ریز دانه.

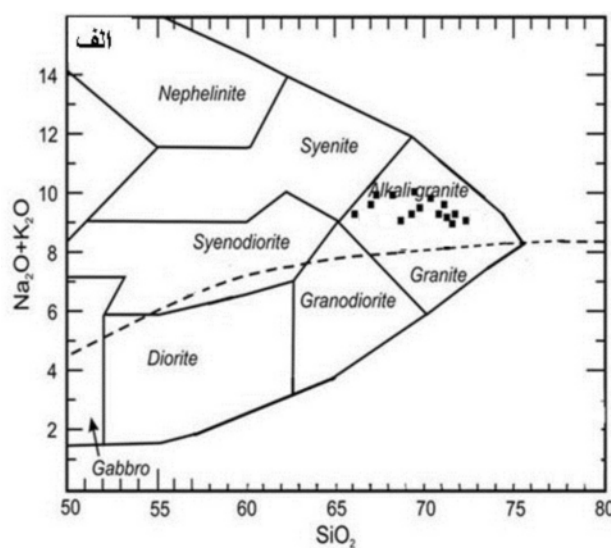
فلدسبارهای قلیایی به صورت بلورهای شکل دار پرتیت در حدود ۴۵٪ از حجم بلورها را تشکیل می‌دهند و بلورهای بی‌شکل کوارتز کانی‌های دیگر را احاطه می‌کنند. بافت‌های ریز نموداری و نموداری که نمایانگر رشد سریع و همزمان کوارتز و فلدسبار پتانسی از گدازه‌ی فوق سرد شده در اعمق سطحی [۴۱،۴۲] و بافت میرمیکیتی که محصول دگرنهادی و برون رفت یا تبلور مستقیم طی دگرشکلی و جایگزینی، در این سنگ‌ها به فراوانی دیده می‌شوند (شکل ۴ب) [۴۳،۴۴]. بیوتیت‌های قهوه‌ای به صورت پولک‌های بدون شکل در این مقاطع دیده شده‌اند که از نوع بیوتیت‌ها غنی از آهن و فقیر از منزیم با ترکیب سیدروفیلیت هستند که گاهی با اکسیدها و میکاهای ثانویه، با ترکیب حدوات‌بین بین موسکویت و موسکویت جایگزین شده‌اند. علاوه بر این موسکویت‌های ثانویه بین بلوری نیز حضور دارند. بقایایی از آمفیبول بین کانی‌های اصلی مشاهده شده‌اند که به شده دگرسان شده‌اند. سریسیتی و کائولینیتی شدن فلدسبارها نیز به روشنی قابل مشاهده است. آپاتیت‌ها بیشتر به صورت شکل دارند (شکل ۴ب) [۴۵،۴۶]. اکسیدهای ایلمنیت، مگنتیت و کانی‌های حاصل از دگرسانی شامل کلریت، موسکویت، اپیدوت،



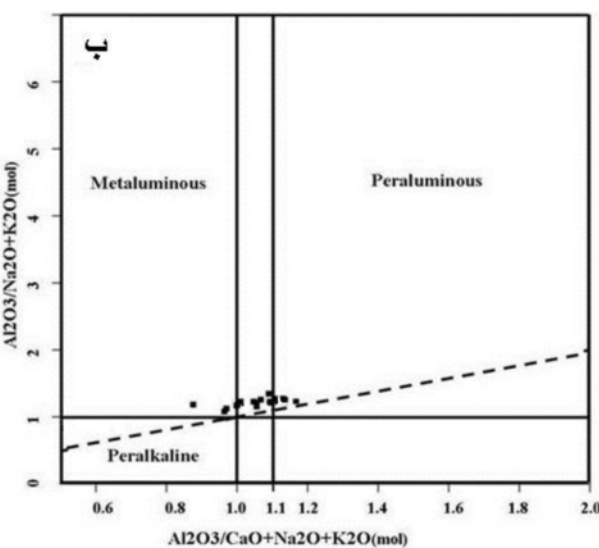
شکل ۴ تصاویر میکروسکوپی از گرانیت نوع A میشو (الف) بافت درشت بلور پرتیتی، XPL (ب) بافت میرمیکیتی، XPL (پ) آپاتیت، XPL (ت) بقایای هورنبلند و پیروکسن، XPL

دارای روند قلیایی- کلسیک و آهن‌دار، مشابه گرانیت‌های نوع A بررسی شده در زاپاتا، هم سن بلاس و اواس اریولس در آرژانتین، هستند [۵۰، ۵۱] (شکل ۶). استفاده از نمودارهای رده بندی انواع گرانیت‌ها نشان می‌دهند که سنگ‌های شرق میشو، جزء گرانیت‌های متالومینوس تا پرآلومینوس متمایل به پرآلکالان هستند. این سنگ‌ها دارای نسبت $A/CNK < 1$ ، $NK/A > 1$ ، مقادیر بالای $Na_2O + K_2O$ و مقادیر پایین $CaO + MgO$ ، Al_2O_3 بر اساس $Y = Ce + Nb + Zr + Y$ نسبت به $10,000 \times Ga/Al$ ، $30-20\%$ کوارتز نورماتیو هستند. در نمودار تفکیک گرانیت‌ها بر اساس $Y = Ce + Nb + Zr + Y$ نسبت به $10,000 \times Ga/Al$ قرار می‌گیرند (شکل ۷ الف). همچنین در نمودار Ga/Al نسبت به ۷ [۵۲]. نمونه‌های بررسی شده در گستره‌ی نوع A قرار می‌گیرند (شکل ۷ ب).

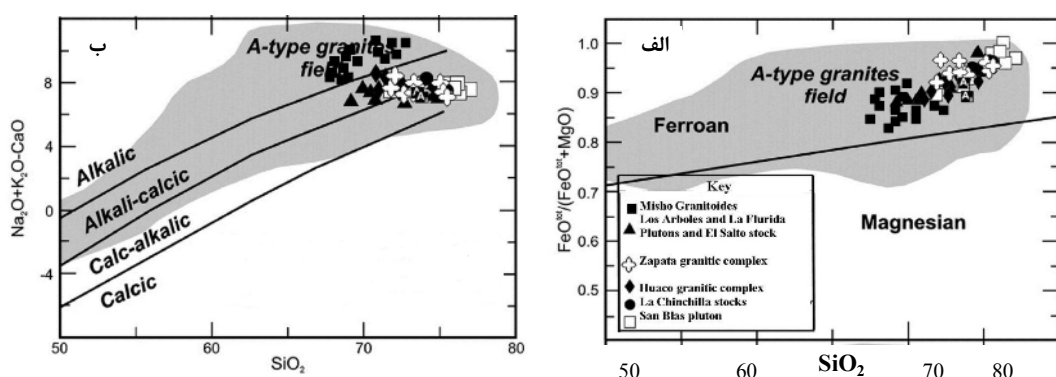
ب) هنجاری منفی Eu و نسبت بالای Ga/Al در نمونه‌های مورد بررسی نشان‌گر حضور پلازیوکلاز در خاستگاه و یا جدایش پلازیوکلاز در طول تبلور مagma‌های تشکیل دهنده است [۳۰]. همچنین محتوای REEs نمونه‌ها در نمودار بهنجار شده نسبت به کندریت، بی‌هنجاری منفی Eu نشان می‌دهد (شکل ۸ الف).



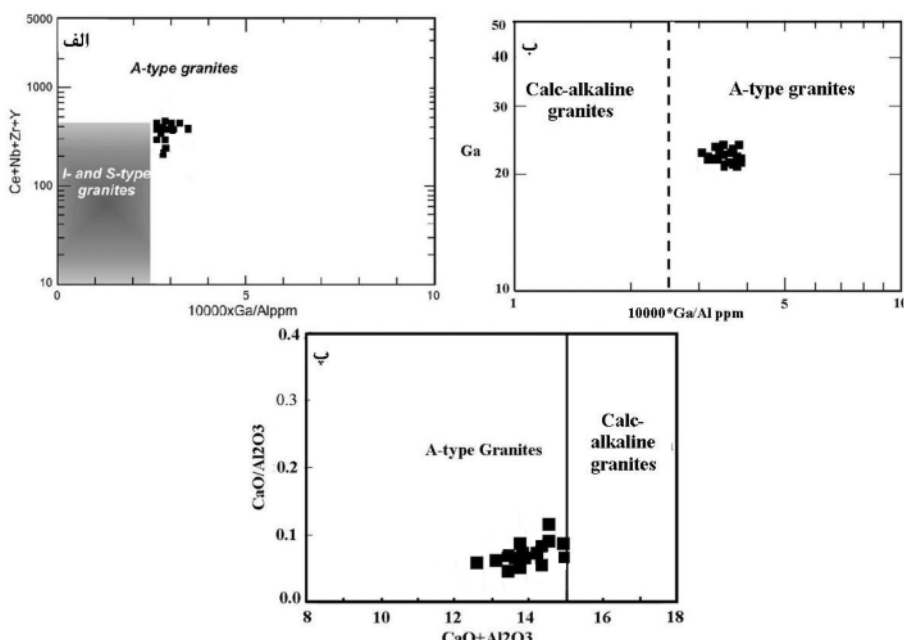
ژئوشیمی و محیط زمین ساختی
نتایج حاصل از آنالیز ICP-AES و ICP-MS نشان می‌دهد (جدول ۱)، که در این سنگ‌ها میزان SiO_2 بهطور قابل ملاحظه‌ای بالا بوده و مقدار آن از ۶۶٪ تا ۷۷٪ در تغییر است، به علاوه میزان Al_2O_3 آن‌ها نسبتاً پائین (۱۴-۱۲٪) و فقیر از CaO و غنی از عناصر قلیایی هستند که خصوصیات کلی ژئوشیمیایی گرانیت‌های نوع A را نشان می‌دهد. علاوه بر این HFSE بالا بودن عناصر گروه LREE، HREE و حتی عناصر ASI زیرکونیم نیز موید این ادعای است. نتایج حاصل از تغییرات عناصر قلیایی بر حسب سیلیس (شکل ۵ الف) نشان می‌دهد که نمونه‌های مورد بررسی در قلمرو قلیایی قرار می‌گیرند، در نمودار شاخص آلومینیم [۴۸] که در آن معیار شاخص $ASI = 1$ نمودار شاخص آلومینیم قرار می‌گیرند، و با استفاده از شاخص $ASI = 1.1$ اقتباس از [۴۹]، نمونه‌ها در گستره‌ی آلومین قرار می‌گیرند (شکل ۵ ب). در واقع این سنگ‌ها، گرانیت‌های متالومینوس تا پرآلومینوس هستند که مونزو-گرانیت‌ها فقیر از CaO و غنی از FeO^t نسبت به MgO با نسبت بالای $FeO/(FeO + MgO)$ را در بر می‌گیرند. در نمودار $Na_2O + K_2O$ نسبت به SiO_2 نمونه‌ها در قلمرو قلیایی قرار می‌گیرند [۵۰]. در نمودار $Na_2O + K_2O$ نسبت به $FeO^t/(FeO^t + MgO)$ و CaO نمودار شاخص $ASI = 1$ نمودار شاخص آلومینیم قرار می‌گیرند (شکل ۵ ب).



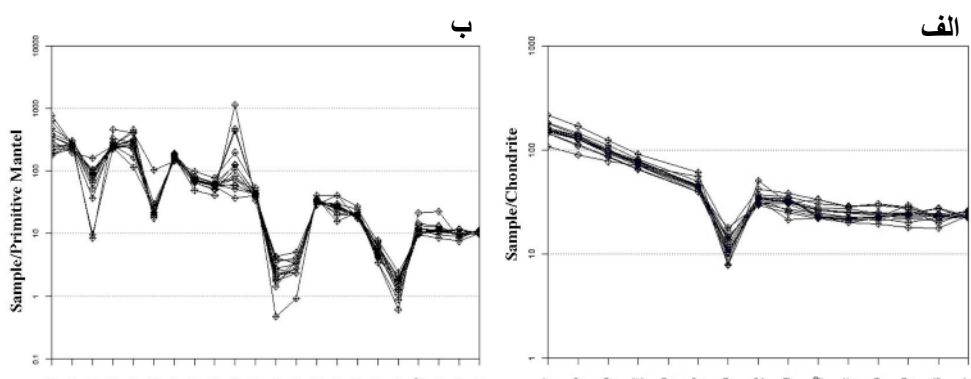
شکل ۵ (الف) نمودار تغییرات $Na_2O + K_2O$ نسبت به SiO_2 ، منحنی قلیایی، نیمه قلیایی اقتباس از [۴۷]. نمونه‌ها در گستره گرانیت قلیایی بر جسته می‌شوند. ب) در نمودار شاخص اشباع شدگی از آلومینیم (ASI)، نمونه‌ها در گستره ۱.۰-۱.۱ ASI با مقادیر بالای برای ضربی آگپاناتی قرار می‌گیرند، ASI = ۱ اقتباس از [۴۷] و ASI = ۱.۱ اقتباس از [۲۲]. نمودار بر اساس نسبت مولی است.



شکل ۶ (الف) پلات گرانیت‌های مطالعه شده در دیاگرام طبقه‌بندی $\text{Na}_2\text{O} + \text{K}_2\text{O} - \text{SiO}_2$, wt. % $\text{FeO}^t / (\text{FeO}^t + \text{MgO})$ [۴۷] و (ب) $\text{FeO}^t / (\text{FeO}^t + \text{MgO})$ در مقابل SiO_2 نمونه‌ها در قلمرو گرانیت‌های نوع A آکالن قرار می‌گیرند. داده‌های شاهد اقتباس از [۲۰].



شکل ۷ (الف) در نمودار جداشی گرانیت‌های $\text{Ce} + \text{Nb} + \text{Zr} + \text{Y}$ نسبت به $10,000 \times \text{Ga}/\text{Al}$, نمونه‌های بررسی شده در قلمرو نوع A قرار می‌گیرند [۵۲]. (ب) نمودار Ga نسبت به $10,000 \times \text{Ga}/\text{Al}$ نشان می‌دهد ترکیب نمونه‌های مورد بررسی در قلمرو گرانیت‌های نوع A است [۵۱]. (پ) در نمودار $\text{CaO}/\text{Al}_2\text{O}_3$ نسبت به $\text{CaO} + \text{Al}_2\text{O}_3$ قرار می‌گیرند [۱۹][۴۸].



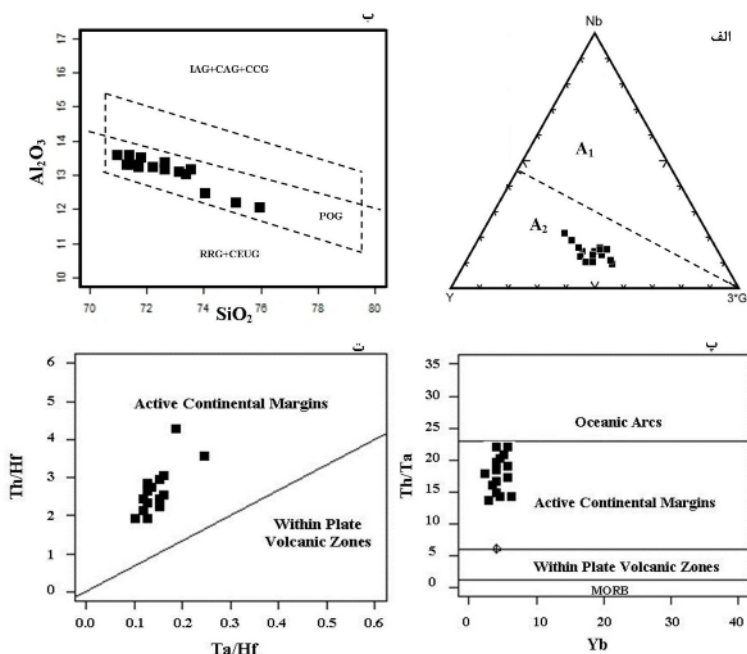
شکل ۸: نمودار تغییرات فراوانی (عنکبوتی) REE بهنجار شده نسبت به کندریت [۵۴] (ب) نمودار تغییرات فراوانی عناصر اصلی و کمیاب گرانیت‌های مورد بررسی بهنجار شده نسبت به گوشه‌های اولیه [۵۴].

ویژگی‌های مهم گرانیت‌های نوع A، شکل گیری آن‌ها در محیط‌های کششی است. این نوع محیط‌های کششی یا به فعالیت‌های آغازین کافت‌زائی، و یا به کشش‌های پس از برخورد واپستگی دارند [۲۶-۳۴]. هر دو محیط، به‌طور گستره‌های با رژیم‌های انبساطی [۴۹] و یا محیط‌هایی که رژیم ترافشاری به تراکیشی تغییر می‌کند، مشخص می‌شوند [۵۸]. از طرف دیگر گرانیت‌های نوع A₂ دارای نسبت‌های عنصری متغیری از نسبت‌های عنصری میانگین پوسته‌ی قاره‌ای تا بازالت‌های کمان جزایری هستند. در این گروه مagma، از پوسته‌ی قاره‌ای یا پوسته‌ی زیر رانده شده‌ای که از طریق یک چرخه‌ی برخورد قاره-قاره یا magmaتیسم جزایر کمانی جایگیر شده‌اند، حاصل می‌شوند [۳۲، ۳۳]. گرانیت‌های نوع A پس از برخورد از کوهزائی در منطقه‌های گستره‌های همراه با کشش و گسل خوردگی تراگذار دیده می‌شوند [۵۸]. از ویژگی‌های گرانیت‌های پس از برخورد، بالا بودن نسبت Rb/Ta و Rb/Hf است [۲۹] که در نمونه‌های مورد بررسی، بالا بودن این نسبتها (Rb/Ta) > ۱۱ (Rb/Hf) > ۸۰ توجه به بالا بودن Rb باید پذیرفت که پوسته‌ی قاره‌ای در ایجاد مagma مولد گرانیت‌های شرق میشو نقش بسزایی داشته است. به عبارتی گرانیت‌های قلیایی نوع A پس از برخورد، به دنبال رویدادهای برخوردهای ایجاد می‌شوند و طی جایگیری آن‌ها زمین‌ساخت کششی غالب است. این سنگ‌ها در مقایسه با گرانیت‌های قلیایی ناکوهزا دارای سهم بیشتری از سازنده‌های پوسته‌ای در خاستگاه خود هستند [۵۷]. با توجه به شواهد صحرایی و حضور مجموعه‌های مافیک و الترامافیک [۲] در جوار ناحیه‌ی مورد بررسی، می‌توان این گرانیت‌ها را به کشش‌های پس از برخورد قاره‌ای نسبت داد. علاوه بر این ترکیب کانی‌شناسی، داده‌های ژئوشیمیائی و ایزوتوپی [۳۵] نشان می‌دهند که پوسته در خاستگاه سنگ‌های مورد بررسی تاثیر بسزایی داشته است. همچنین حضور حجم گستره‌های از رسوب‌های پرموتربیاس در جلفا، میشو، مورو و قره گوز [۱۰، ۱۱، ۱۴، ۱۵] نمایانگر تاثیر فازهای کششی در این زمان می‌باشد. مع‌الوصف شواهد ژئوشیمی موجود با در نظر گرفتن موقعیت ژئودینامیکی ایران در گذشته، فرضیه‌ی ارائه شده را تائید می‌کند به ویژه این که داده‌های ایزوتوپی و تعیین سن [۳۵] نیز با داده‌های به‌دست آمده در این کار پژوهشی همخوانی زیادی دارند.

همچنین در نمودار بهنجار شده نسبت به گوشه‌ی اولیه، گرانیت‌های مورد بررسی دارای تهی شدگی از Ti، Ba، Rb و Nb غنی شدگی از Th و Rb هستند (شکل ۸ ب) [۵۴، ۵۳]. روی نمودار ارائه شده، با استفاده از عناصر A₂، Y-Nb-3*Ga برای جدایش گرانیت‌های نوع A و تشخیص خاستگاه این نوع گرانیت‌ها، نمونه‌های بررسی شده در گستره‌ی A₂ قرار می‌گیرند (شکل ۹ الف) [۲۵، ۳۹]. افزون بر این در نمودار Al₂O₃-SiO₂ [۵۵] نمونه‌ها در گستره‌ی بسا کوهزائی واقع شده‌اند (شکل ۹ ب). بررسی محیط زمین‌ساختی سنگ‌های گرانیتی شرق میشو با استفاده از نمودار [۵۶، ۶۵]، نشان می‌دهد که این سنگ‌ها به گرانیت‌های حاشیه‌ی قاره‌ای تعلق دارند (شکل ۹ پ و ت).

بحث و بررسی

کلیه داده‌های سنگ‌نگاری و ژئوشیمیائی نشان می‌دهد که سنگ‌های گرانیتی شرق میشو دارای ماهیت A-Typ هستند. حضور بیوتیت‌های میان روزنه‌ای تاییدی بر این ادعاست [۴۷]. با توجه به حضور گستره‌ی پرتیت در این سنگ‌ها می‌توان گفت که magma‌ای تشکیل دهنده این سنگ‌ها magma‌ای خشکی بوده است. افزون بر این مقادیر بالای HFSEs، خشک بودن خاستگاه magma‌ای تشکیل دهنده را تایید می‌کند [۵۱، ۵۷، ۲۲]. بیهنجاری منفی Eu در الگوی عناصر کمیاب را می‌توان به نقش جدایش فلدسپار طی تبلور و یا حضور فلدسپار به عنوان فاز باقی مانده در خاستگاه و بیهنجاری P و Ti را به اکسیدهای آهن - تیتان و آپاتیت وابسته دانست. غنی شدگی و HFSE در عناصر LILE همراه با بیهنجاری منفی Nb و Ta از ویژگی‌های گرانیت‌های وابسته به فرورانش است که عموماً، یا به خاستگاه گوشه‌ای نسبت داده می‌شود که قبل از فعالیت دگرنهادی شاره‌های حاصل از رسوب‌های ورقه‌ی فرورانده شده از عناصر LILE و HFSE غنی شده‌اند [۱۷]، و یا می‌تواند سرشی مagma‌های ریشه گرفته از یک گوشه‌ی سنگ کره‌ای زیر قاره‌ایی باشند که طی فرورانش اولیه ایجاد شده‌اند. علاوه بر این غنی شدگی در Rb، Th و تهی شدگی در Eu، Sr و Ti نشانه‌ی ریشه گرفتن گرانیت‌ها از گدازه‌های پوسته‌ای است [۵۷]. بررسی محیط زمین‌ساختی سنگ‌های گرانیتی مورد بررسی که با استفاده از [۵۶] که در شکل ۸ ب و پ ارائه شده، نشان می‌دهد که این سنگ‌ها از گرانیت‌های نوع A بسا کوهزائی حاشیه‌ی قاره‌ای، به زیر گروه A₂ وابسته‌اند. از



شکل ۹ (الف) در نمودار سه تائی Y–Nb– $3\times$ Ga، نمونه‌ها در قلمرو A_2 قرار می‌گیرند [۵۵]، (ب) در نمودار Al_2O_3 نسبت به SiO_2 [۳۹، ۲۵]، (پ و ت) در نمودار تعیین محیط زمین‌ساختی نمونه‌ها در گستره‌ی حاشیه قاره‌ای قرار می‌گیرند [۵۶].

میشو، پایان نامه کارشناسی ارشد. دانشگاه تبریز، دانشکده علوم، طبیعی، گروه زمین شناسی، (۱۳۸۴).

[۲] مجتبهدی، م.، کلاگری، ع.، عامری، ع.، موزن، م، "پی جوئی و مطالعات کانی شناسی، سنگ شناسی و ژئوشیمی سنجهای آذربایجان غربی مناطق انانمق، گلچار و قره قوم در کوههای میشو با نگرشی ویژه بر فلزات آهن، نیکل، مس، کروم، کبات، طلا و نقره، طرح تحقیقاتی، دانشگاه تبریز (۱۳۸۲).

[۳] منصوری اصفهانی، م.، "پتروزنر توده گرانیتیوییدی حسن ریاط، مجله بلورشناسی و کانی شناسی ایران، شماره ۱۳، (۱۳۷۹)، ص ۳۷-۵۸.

[۴] ادواری، م.، قلمقاش، ج.، "پتروزنر و سال سنجی رادیومتری U-Pb زیرکن در گرانیت هریس (شمال غرب شبستر)"، مجله بلورشناسی و کانی شناسی ایران، شماره ۴، (۱۳۸۹)، ص ۶۳۳-۶۴۶.

[۵] مهری، م.، موید، م.، سفیدگرآ، سفیدگرآ، "گزارش اپیدوت ماقمایی در توده گرانیتیوییدی میشو (شمال غرب ایران) تحلیل داده‌ها و نتایج، شانزدهمین همایش انجمن بلورشناسی و کانی شناسی ایران، (۱۳۸۷)،

[۶] ادواری، م.، جهانگیری، ا.، مجتبهدی، م.، قلمقاش، ج.، "سنگ شناسی و ژئوشیمی سنگ‌های مافیک و گرانیت نوع A شاه آشان داخل در شمال خاوری خوی، شمال باختر ایران"، مجله علوم زمین، شماره ۷۷، (۱۳۸۹)، ص ۸۳-۹۰.

برداشت

توده‌ی گرانیتی شرق میشو در شمال غربی ایران و در حدود ۸ کیلومتری جنوب‌شرقی شهرستان مرند واقع شده است. این توده از سنگ‌های گرانیت، مونزوگرانیت و سینوگرانیت قلایی تشکیل شده است. بررسی‌های ژئوشیمیائی نشان می‌دهد که گرانیت‌های مورد بررسی دارای ماهیت نوع A هستند و به دلیل فقیر بودن از Nb، تماماً در گستره‌ی A_2 قرار می‌گیرند. این سنگ‌ها از جمله گرانیت‌های متالومینوس تا پرآلومینوس دارای خاستگاه پوسته‌ای هستند. گرانیت‌های شرق میشو در نمودارهای جداشی محیط زمین‌ساختی، موقعیت‌های بسا برخورد حاشیه قاره‌ای را نشان می‌دهند.

قدرتانی

این پژوهش با حمایت مالی معاونت پژوهشی و معاونت تحصیلات تکمیلی دانشگاه تبریز به انجام رسیده است که بدین وسیله از همکاری ارزنهای آن معاونت قدردانی می‌شود. همچنین از هیئت تحریریه و نظرات و پیشنهادات سازنده‌ی داوران محترم این مجله تقدیر و تشکر می‌شود.

مراجع

- [۱] پیر محمدی علیشاه، ف، "تحقیق و بررسی پترولوژی و پیتروگرافی توده آذربایجان غربی هریس واقع در کوه‌های

- the Kokshaal Range, Southern Tien Shan, Kyrgyzstan*", Lithos 97 (2007) 140–160.
- [20] Landenberger B., Collins W. J., "Derivation of A-type granites from a dehydrated charnockitic lower crust", Journal of Petrology 37 (1996) 145–170.
- [21] Patiño Douce A. E., "Generation of metaluminous A-type granites by low-pressure melting of calc-alkaline granitoids". Geology 25 (1997) 743–746.
- [22] Whalen J. B., Currie K. L., Chappell B. W., "A-type granites: geochemical characteristics anorthitediopside", Geochemica et Cosmochimica Acta 51 (1987) 2117–2128.
- [23] Herdt J., Woodhead J., Schofield A., "A-type magmatism in the Western Lachlan Fold Belt? A study of granites and rhyolites from the Grampians region, Western Victoria", Lithos, Special Issue on A-type Granites and Related Rocks Through Time97 (2007) 122–139.
- [24] Henderson P., "Inorganic Geochemistry", Pergamon. Oxford (1982) 312 p.
- [25] Eby G. N., "Chemical subdivision of the A-type granitoids: petrogenetic and tectonic implications", Geology 20 (1992) 641–644.
- [26] Mahood G., Hildreth w. "Large partition coefficients for trace elements in high-silica rhyolites", Geodinamica Acta 47 (1983) 11-30.
- [27] Creaser R. A., Price R. C., Wormold R. J., "A-type granite revised: assessment of residual source model", Geology 19 (1991) 163–166.
- [28] Bailey D. K., "Continental rifting and mantle degassing. In: E. -R. Neumann and LB", Petrology and Geochemistry of Continental Rifts, Reidel, Dordrecht (1978) 1-13.
- [29] Taylor R P., Strong D F., Fryer B J., "Volatile control of contrasting trace element distributions in peralkaline granitic and volcanic rocks", Contribution Mineralarolgy Petrology 77 (1981) 267-271.
- [30] Dahlquist J., Pablo H., Alasino, M., Eby G. N., Galindo C., Casquet C., "Fault controlled Carboniferous A-type magmatism in the proto-Andean foreland (Sierras Pampeanas, Argentina)", Geochemical constraints and petrogenesis, lithos 115 (2010) 65-81.
- [31] Harris N. B. W., Marzouki F. M. H., Ali S., "The Jabel SaYld Complex Arabian Shield: geochemical constraints on the origin of peralkaline and related granites", Journal of Geology Society. London 143 (1986) 287-295.
- [32] Clemens J. D., Holloway J. R., White A. R., "Origin of A-type granites: experimental constraints", American Mineral 71 (1986) 317-324.
- [7] اطهری ف، سپاهی ع، موذن م، "گرانیتیوئیدهای حسن سلا ران سقر مجموعه‌های متسلسل از دو تیپ گرانیتیوئید متنوع در نوار دگرگونی سنندج- سیرجان"، مجله پژوهشی اصفهان، (۱۳۸۹)، ۷۸-۹۹.
- [8] امینی ص، روانخواه ع، موید م، "سنگ شناسی و سنگ زائی توده های آذرین دیوان داغی - قره گوز شمال مرند (آذربایجان شرقی)", مجله بلورشناسی و کانی شناسی ایران، شماره ۲، (۱۳۸۷)، ۲۶۴-۲۴۹.
- [۹] افتخارنژاد ج، "تفکیک بخش های مختلف ایران از نظر وضع ساختمانی در ارتباط با حوضه رسویی"، (۱۳۵۹).
- [۱۰] موید م، رضائی مقدم م، "اهمیت تغییرنامیکی گسل تبریز و گسل جنوبی میشو در تحول پوسته ای ایران"، خلاصه مقالات کنفرانس بین المللی زمین، بلایای طبیعی و راه کارهای مقابله با آنها، دانشگاه تبریز (۱۳۸۴).
- [۱۱] اسدیان ع، راستگار م، محجل م، حاج علیلو ب، "نقشه زمین شناسی ۱/۱۰۰۰۰۰ مرند"، سازمان زمین شناسی و اکتشاف معدنی ایران، (۱۳۷۳).
- [12] Shabanian N., Khalili M., Davoudian A., Mohajjal M., "Petrography and geochemistry of mylonitic granite from Ghaleh-Dezh, NW Azna, Sanandaj-Sirjan zone, Iran", 185/3 (2009) 233-244.
- [13] Loiselle M. C., Wones D. R., "Characteristics and origin of anorogenic granites", Abstracts of papers to be presented at the Annual Meetings of the Geological Society of America and Associated Societies, San Diego, California, November 5–8, 11 (1979) p. 468.
- [14] Pitcher W. S., "The Origin and Nature of Granite", (1993), Chapman & Hall, London.
- [15] Wilson M., "Igneous Petrogenesis: A Global Tectonic Approach", Chapman & Hall, London. (1989), 446 pp.
- [16] Green T. H., "Significance of Nb/Ta as an indicator of geochemical processes in the crust-mantle system", Chemistry Geology 120 (1995) 347–359.
- [17] Pearce J. A., Harris N. B. W., Tindle A. G., "Trace element discrimination diagrams for the tectonic interpretation of granitic rocks", Journal of Petrology 25 (1984) 956–983.
- [18] Brown G. C., Thorpe R. S., Webb P. C., "The geochemical characteristics of granitoids in contrasting arcs and comments on magma sources", Journal of Geology Society. London 141 (1984) 413-426.
- [19] Konopelko D., Biske G., Seltmann R., Eklund O., "Hercynian postcollisional A-type granites of

- Technology Press, Changsha (1996) (in Chinese with English abstract).
- [47] Bonin B., "A-type granites and related rocks: Evolution of a concept, problems and prospects", *Lithos* 97 (2007) 1–29.
- [48] Shand S. J., "The Eruptive Rocks", 2nd edn. New York, John Wiley (1943) 444.
- [49] Chappell B. W., White A. J. R., "I- and S-type granites in the Lachlan Fold Belt", *Transactions of the Royal Society of Edinburgh, Earth Sciences* 83 (1992) 1–26.
- [50] Frost C D., Frost B R., Bell J M., Chamberlain K R., "The relationship between A-type granites and residual magmas from anorthosite: evidence from the northern Sherman batholith, Laramie Mountains, Wyoming, USA", *Precambrian Res.* 119 (2002) 45–71.
- [51] King P. L., Chappell B. W., Allen C. M., White A. J. R., "Are A-type granites the high-temperature felsic granites? Evidence from fractionated granites of the Wangrah suite", *Australian Journal of Earth Sciences* 48 (2001) 501–514.
- [52] Frost B. R., Barnes C. G., Collins W. J., Arculus R. J., Ellis D. J., Frost, C. DA, "geochemical classification for granitic rocks", *Journal of Petrology* 42 (2001) 2033–2048.
- [53] Patiño Douce A. E, "What do experiments tell us about the relative contributions of crust and mantle to the origin of granitic magmas? Understanding Granites: Integrating New and Classical Techniques". In: Castro, A., Fernández C., Vigneresse J. L. (Eds.), Geological Society of London, Special Publications, 168 (1998) 55–75.
- [54] Sun S. S., McDonough W. F., "Chemical and isotopic systematic of oceanic basalts: implication for mantle composition and processes", in: Sunders, A.D., Norry, M.J. (Eds.), Magmatic in Oceanic Basins, *Geology Society of London* 42 (1989) 313–345.
- [55] Maniar P. D., Piccoli P. M., "Tectonic discrimination of granitoids", *Geological Society of America Bulletin* 101 (1989) 635–643.
- [56] Schandl E. S., Groton M. P., "Application of high field strength elements to discriminate tectonic settings in VMS environments", *Economic Geology* 97 (2002) 629–642.
- [57] Zhao h. H., Zhou M. F., "Geochemistry of Neoproterozoic mafic intrusion in the panzihua district (Sichuan Province, SW China); implications for subduction related metamorphism in the upper mantle", *Precambrian Res.* 152 (2007) 27–47.
- [58] Sylvester A. G., "Post- collisional alkaline granites", *Journal of Geology* 97 (1989) 261–280.
- [33] Abdel Rahman A. M., "Petrogenesis of anorogenic peralkaline granitic complexes from eastern Egypt", *Mineralogical Magazine* 70 (2006) 27–50.
- [34] نبوی م. ح., "دیباچه ای بر زمین شناسی ایران", انتشارات سازمان زمین شناسی کشور, ۱۳۵۵، ۱۰۹ صفحه.
- [35] Ahankoub M., Jahangiri A., Asahara Y., Moayed M, "Geochemistry and new isotope dating for two gabbroic and granitic bodies in the Misho area, NW-Iran", 54th conference Geochemistry, Hokaido, japan. (2011).
- [36] Collins W. J., Beams S. D., White A. J. R., Chappell B. W., "Nature and Origin of A-type granites with Particular Reference to Southeastern Australia". Contribution to Mineralogy and Petrology 80 (1982) 189–200.
- [37] Le Maitre R. W., "A Classification of Igneous Rocks and Glossary of Terms", Blackwell, (1989) Oxford
- [38] Katzir A., Eyal M., Litvinovsky B. A., Jahn B., Zanvilevich A. N., Valley W., Beeri Y., Pelly I., Shimshilashvili E., "Petrogenesis of A-type granites and origin of vertical zoning in the katharina pluton, Gebel Mussa (Mt. Moses) area, Sinai, Egypt", *Lithos* 87 (2006) 328–349.
- [39] Eby G. N., "The A-type granitoids: a review of their occurrence and chemical characteristics and speculations on their petrogenesis", *Lithos* 26 (1990) 115–134.
- [40] Streckeisen A., "Classification and nomenclature of plutonic rocks", *Geologische Rundschau* 63 (1974) 773–786.
- [41] Su Y. P., Tang H. F., Liu C. Q., Hou, G. S., Liang L. L., "The determination and a preliminary study of Sujiquan aluminous A-type granites in East Junggar, Xinjiang", *Acta Petrology and Mineralogy* 25 (2006) 175–184.
- [42] Barker D. S., "Igneous Rocks", Printice-Hall, New Jersey (1983) p 417.
- [43] Clarke D. B., "Granitoid Rocks", Chapman and Hall Publisher, London (1992) p 283.
- [44] Cox K. G., Bell J. D., Pankhurst R. J., "The Interpretation of Igneous Rocks", George Allen and Unwin, London (1979) p. 450.
- [45] Rapela C.W., Baldo E.G., Pankhurst R. J., Fanning C. M., "The Devonian Achala batholith in the Sierras Pampeanas: F-rich aluminous A-type granites", VI South American Symposium on Isotope Geology, Proceedings in CD-ROM (2008) 53.
- [46] Liu J. Y., Yuan K. R., Wu G. Q., Xin J. G., Liu S., "A Study on Alkali-Rich Granitoids and Related Mineralization in Eastern Junggar, Xinjiang, China", Central South University of